

II-29 水路急縮部の洗掘現象について

徳島大学 正員 工博 杉尾捨三郎
徳島大学 正員 ○湯淺博明

1 総説

自然河川においては、流路の不均一性による種々の現象が見られる。とくに橋脚、水門、水制などの構造物による人工的なものから、河床の局部的な凹凸、あるいは河川上流部に見られる狭窄部などのように流路断面の急縮による急縮部上下流における異常水位、河床状態の急激な変化などの現象である。水路断面が急縮する付近では流れの集中が起り、そのため渦および局部的なみだれが発生し部分的に甚だしく洗掘される。しかし洗掘によって急縮部の断面が増加して流れが滑らかになり流通が良くなるようである。ここでは矩形断面水路を用い種々の角度をもつて急縮する場合、主として水面曲線の変化の状況、損失水頭の性質および急縮部付近の底部の洗掘状況などについて基礎的な実験を行ない、次元解剖を用いてそれらの結果を考察したものである。

2 実験設備および方法

図-1に示すように長さ7m、中0.364m、深さ0.35mの木製水路の下流を中8.15cmにせばめ、その下流端にひくいせきを設けて平均粒径0.9mmの砂を平らに敷き均し、上流から一定流量を流したときの水面形と砂面形の時間的変化をポイントゲージを用いて測定した。この際の縮小角は $0^\circ, 15^\circ, 30^\circ, 45^\circ, 60^\circ$ の6種類に変り、流量も数種類変えて実験を行なつた。ほぼ定常状態になつたのち水流を止め、最大洗掘深さSm、最大洗掘長さl、洗掘角 β 、平均洗掘深さShなどを測定した。図-2は最大洗掘深さSm、および急縮部から25cmの間の洗掘

図-1 実験水路

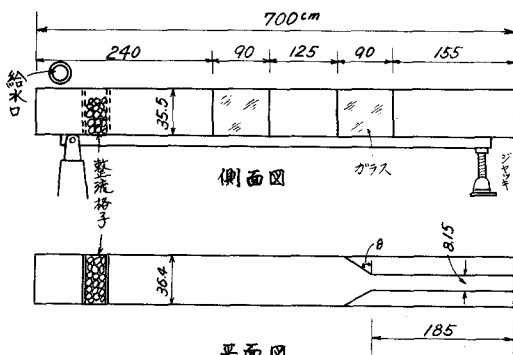
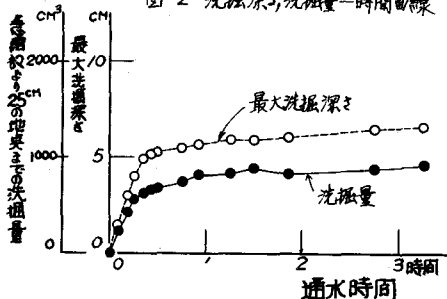


図-2 洗掘深さ、洗掘量-時間曲線



量が時間とともに変化して定常状態に近づく状態を図示した一例であつて、3~4時間以内に90%程度洗掘が完了することがわかる。なおこの実験では7時間連続して観測している。

3 損失水頭について

急縮水路の流れは、一様水路の場合とは流速分布の形も異なり、また摩擦損失と形狀損失を分離することは困難である。管路の場合の断面急縮あるいは急拡による損失の問題についてはBorda-Carnotによつて取扱われ、明かにされている。しかし開水路の場合には自由水面をもつていて管路の場合とは異なり、とくに移動床の場合になれば洗掘現象を伴うので取扱いはさらに困難である。流れが洗掘部分を過ぎるときはつねに摩擦損失の他に渦などによるエネルギー損失があり、それらを含めたエネルギー損失を ϕ_1 で表わせば

$$\frac{h_1}{h_1} = 1 + \frac{F_1^2}{2} - \left[\frac{h_2}{h_1} + \frac{F_1^2}{2 \left(\frac{h_2}{h_1} \right)^2 \left(\frac{b_2}{b_1} \right)^2} \right] \quad \text{ここで } F_1 = \sqrt{\frac{V_1^2}{g h_1}}$$

となる。この実験においては移動床の場合の損失水頭は固定床の場合に比べて小さくなる傾向が見られるが、これについては当日の講演会において詳細に述べる。

4 次元解剖

2の実験結果を次元解剖的にまとめようとするに当り、研究の対象としたのはつきの事項である。

1 急縮部上流側の水深 : h_1

4 急縮部の洗掘角 : β

2 急縮部上流側の最大洗掘深さ : s_m

5 下流部の算流水深 : h_2

3 急縮部の最大洗掘長さ : l

6 下流部の洗掘量 : Q_s

これらについて若干の実験式を誇導した。図-3はその一例である。

5 結論

この実験は、固定床および移動床をもつ矩形水路が種々な角度をもつて急縮する場合について、水面形、堆砂形、損失水頭などを求めるために行なった基礎的な実験である。実験結果得られた主な事項はつきのごとくである。

1. $\frac{h_1}{h_2}$ は主として Q_s のみに影響し、縮小角 β はほとんど影響しない。

2. 急縮部における損失水頭は、移動床の場合が固定床の場合よりも小さい。

3. 移動床の急縮の実験では、実験の初期には上下水面差は大きいが洗掘が進行するにつれて水面差は小になり、損失が小さくなつてゆく傾向がある。

この研究はアムの上流の平衡河床に関する研究の一部をなすもので、文部省科学研究費の支給を受けたことを記して関係各位に謝意を表する。

図-3 $\frac{h_1}{h_2}$ と $\frac{h_1}{h_2}$, $\frac{h_1}{h_2}$ の関係

